



**AKADEMIA GÓRNICZO-HUTNICZA
IM. STANISŁAWA STASZICA
W KRAKOWIE**

Sprawozdanie - laboratorium nr 4

*Uogólniony (symetryczny) problem własny – wyznaczanie modów
własnych strun w 1D*

Klaudia Fil, 24.03.2019 r.

1. Wstęp teoretyczny

Wyznaczenie wartości własnych i wektorów własnych macierzy ma swoje zastosowanie m.in. w równaniach opisujących drgania struny, gdzie naturalne części drgań układu reprezentowane są przez wartości własne, a mody drgań – wektory własne.

Metody do wyznaczania wartości i wektorów własnych macierzy są liczne, w zależności od implementacji macierzy bazowej. W przypadku macierzy symetrycznej, jaka jest w treści zadania, wykonano odpowiednie przekształcenia do uogólnionego problemu własnego, co po wprowadzeniu przekształceń ułatwiających obliczenia, pozwala na bezpośrednie otrzymanie wyników.

Niech dana będzie kwadratowa macierz $A_{N \times N}$. Wektorem własnym $\vec{x} \in C^N$ oraz odpowiadającą mu własnością własną $\lambda \in C$, nazwiemy taką parę, dla której spełnione jest:

$$A \vec{x} = \lambda \vec{x}, \vec{x} \neq 0. \quad (1)$$

Uogólniony problem własny definiujemy następująco:

$$A \cdot \vec{x} = \lambda \cdot B \cdot \vec{x}, \quad (2)$$

gdzie A i B są macierzami kwadratowymi.

Równanie (2) można przekształcić do zwykłego problemu własnego tj.

$$B^{-1} A \vec{x} = C \vec{x} = \lambda \vec{x}, \quad (3)$$

jednak wciąż problemem jest wyznaczenie B^{-1} , w tym przypadku gdy macierze są symetryczne posłużono się rozkładem LL^T :

$$\begin{aligned} B &= L L^T \\ B B^{-1} &= I = L L^T (L^T)^{-1} L^{-1}, \\ B^{-1} &= (L^T)^{-1} L^{-1} \end{aligned} \quad (4)$$

następnie przy wykorzystaniu tego samego rozkład znaleziono macierz podobną do $B^{-1}A$:

$$\begin{aligned} L^T(B^{-1}A)(L^T)^{-1} &= L^T(L^T)^{-1}L^{-1}A(L^T)^{-1} \\ L^T(B^{-1}A)(L^T)^{-1} &= L^{-1}A(L^T)^{-1} \\ L^T(B^{-1}A)(L^T)^{-1} &= G \end{aligned} \quad (5)$$

Dzięki temu przekształceniu, otrzymano macierz G , która podobnie jak A jest symetryczna i posiada identyczne widmo wartości własnych, ale nie wektory własne:

$$G\vec{y} = \lambda\vec{y} \quad (6)$$

Do wyznaczenia macierzy G , znaleziono najpierw macierz F , następnie rozwiązano układ równań:

$$\begin{aligned} F &= A(L^T)^{-1} \\ FL^T &= A \Rightarrow LF^T = A^T = A \\ G &= L^{-1}F \\ LG &= F \end{aligned} \quad (7)$$

Wektory własne macierzy A można wyznaczyć przekształcając wektory macierzy G lub rozwiązując układ:

$$L^T\vec{x} = \vec{y} \quad (8)$$

2. Zadanie do wykonania

2.1. Opis problemu

Celem zadania jest wyznaczenie częstości drgań własnych struny, której wychylenie w czasie i przestrzeni opisuje funkcja $\psi = \psi(x, t)$. Dynamiką takiej struny rządzi równanie falowe:

$$\frac{N}{\rho(x)} \cdot \frac{\partial^2 \psi}{\partial x^2} = \frac{\partial^2 \psi}{\partial t^2} \quad (9)$$

gdzie N - naciąg struny, $\rho(x)$ - liniowy rozkład gęstości.

Dokonując separacji zmiennych poprzez podstawienie $\psi(x, t) = u(x) \cdot \theta(t)$ oraz podzielenie równania przez $u \theta$:

$$\frac{N}{\rho(x)} \cdot \frac{1}{u} \cdot \frac{\partial^2 u}{\partial x^2} = \frac{1}{\theta} \cdot \frac{\partial^2 \theta}{\partial t^2} = \text{const} = -\lambda, \quad \lambda = \omega^2 \quad (\omega - \text{częstość własna drgań}), \quad (10)$$

otrzymano:

$$-\frac{\partial^2 u}{\partial x^2} = \lambda \cdot \frac{\rho(x)}{N} \cdot u. \quad (11)$$

Struna przymocowana jest w punktach $\pm L/2$, gdzie L -długość struny. Po wprowadzeniu siatki równoległych węzłów: $x = x_i$, $u(x) = u_i$, $\rho(x) = \rho_i$ możemy oznaczyć odległość pomiędzy węzłami:

$$\Delta x = \frac{L}{n+1}, \quad (12)$$

a położenie w przestrzeni:

$$x_i = -\frac{L}{2} + \Delta x \cdot (i+1), \quad \text{dla } i=0, 1, 2, \dots, n-1. \quad (13)$$

Dzięki dyskretyzacji równania (11) możliwe jest podstawienie trójpunktowego ilorazu różnicowego centralnego za drugą pochodną:

$$-\frac{u_{i-1} - 2u_i + u_{i+1}}{\Delta x^2} = \lambda \frac{\rho_i}{N} u_i, \quad (14)$$

co można zapisać w postaci (A, B – macierze, \vec{u} – wektor):

$$A \cdot u = \lambda \cdot B \cdot u, \quad (15)$$

która stanowi uogólniony problem własny, w którym elementy macierzowe definiuje się:

$$A_{i,j} = \frac{-\delta_{i,j+1} + 2\delta_{i,j} - \delta_{i,j-1}}{\Delta x^2}, \quad (16)$$

$$B_{i,j} = \frac{\rho_i}{N} \cdot \delta_{i,j} \quad , \quad (17)$$

gdzie δ jest deltą Kroneckera:

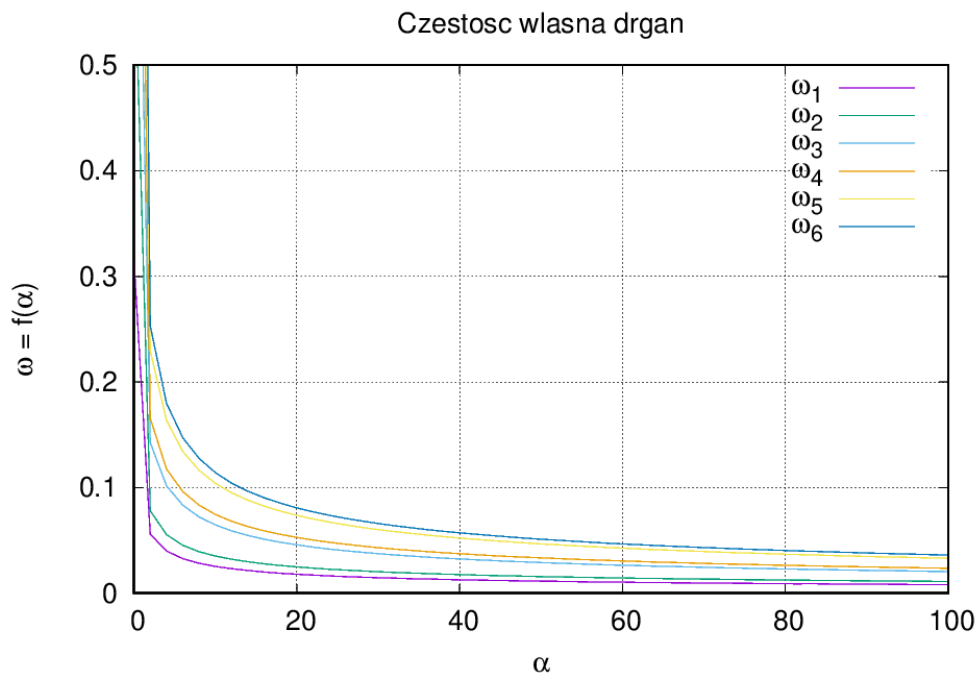
$$\delta_{i,j} = \begin{cases} 1, i=j \\ 0, i \neq j \end{cases} . \quad (18)$$

Równanie (9) rozwiązano dla następujących parametrów początkowych:

$$L = 10, n = 200, \rho(x) = 1 + 4\alpha x^2, N = 1, \Delta\alpha = 2.$$

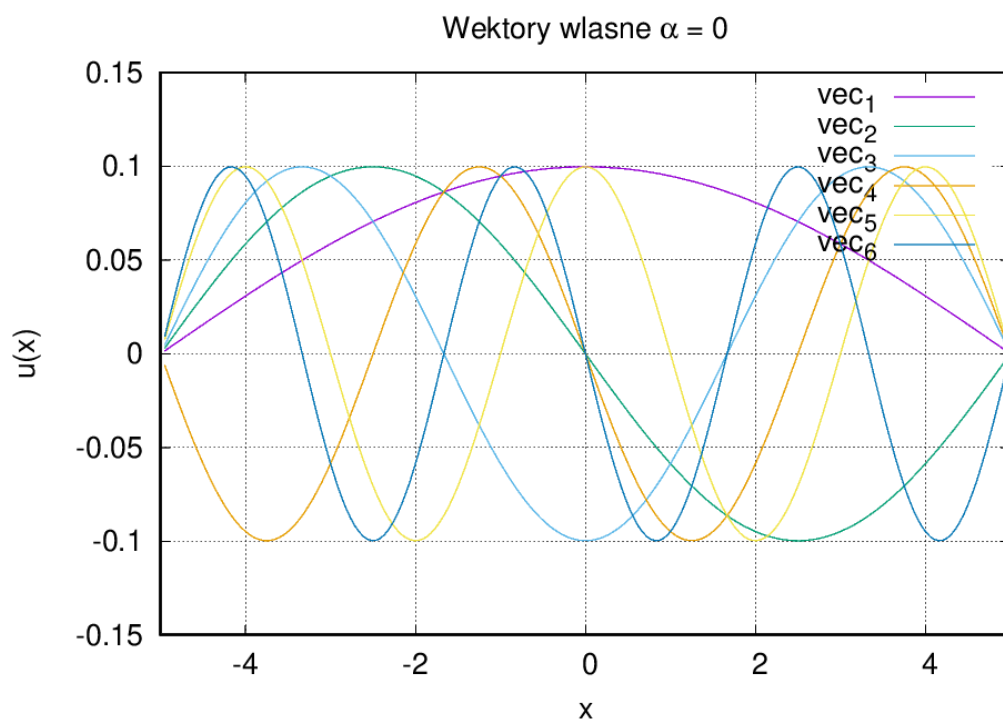
2.2. Wyniki

Dzięki programowi w języku C korzystającemu z biblioteki numerycznej GSL oraz wykorzystując skrypt Gnuplotu wygenerowano:



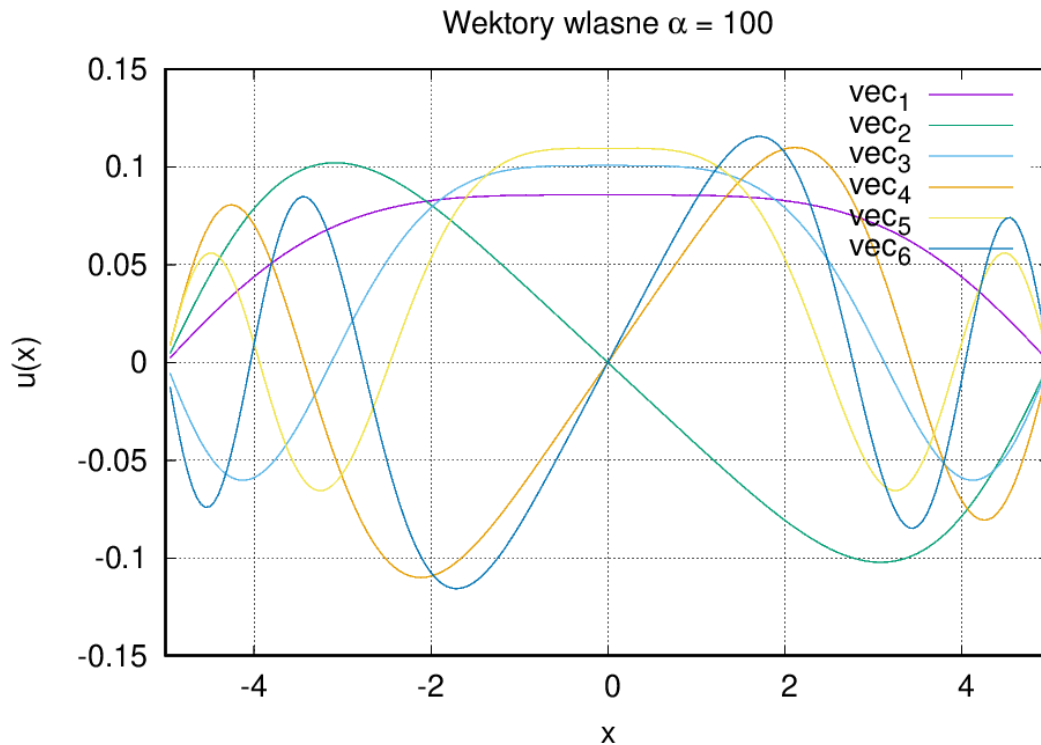
Rysunek 1: Częstość własna struny w funkcji α (pierwiastki z sześciu najniższych wartości własnych: $\omega_k = \sqrt{\lambda_k}$)

Zgodnie z rysunkiem 1. łatwo zauważyć, że wraz z wzrostem parametru α wartości własne macierzy asymptotycznie zbiegają do zera.



Rysunek 2: Wektory własne odpowiadające sześciu najniższym wartościom własnym
z jednorodną gęstością, $\alpha = 0$

Analizując rysunek 2. możemy zauważyć, że wykres każdego wektora jest sinusoidą, spowodowane jest to tym, że rozkład gęstości zależy od parametru α , który wynosi 0, a więc jest on jednorodny, czyli stały bez względu na punkt struny, do którego można się odnieść. Wykresy poszczególnych wektorów różnią się tylko częstotliwością, a ich amplitudy są sobie równe.



Rysunek 3: Wektory własne odpowiadające sześciu najniższym wartościom własnym
z niejednorodną gęstością, $\alpha = 100$

Porównując rysunki 2. i 3. łatwo zauważyć, że wraz z zmianą $\alpha = 100$, gęstość zależy coraz bardziej od położenia. Ze względu na kwadratowy charakter funkcji $\rho(x)=1+4\alpha x^2$, wnioskujemy, że oddalając się od środka, wartości symetrycznie zmieniają się po obu stronach „wierzchołka paraboli” na coraz większe zagęszczenie okresów drgań, co ma swoje potwierdzenie na rysunku 3. Amplitudy w tym przypadku różnią się.

Możemy zauważyć parzystość/nieparzystość funkcji $u(x)$, spowodowaną zmianą odpowiadających im wektorów własnych.

3. Wnioski

Wyznaczanie wartości i wektorów własnych dla macierzy symetrycznych, jest szybkie i skuteczne, ponieważ po przekształceniach część elementów macierzy B jest wypełniona zerami. Być może w tym przypadku gdzie wymiar macierzy był 5×5 nie było to zauważalne, ale przy większych rozmiarach np. 100×100 z macierzy rzadkiej znacznie łatwiejsze jest wyznaczenie szukanych rozwiązań. Przekształcając wzór (9) do postaci (15) możliwe było skorzystanie metody, która zminimalizowała koszt obliczeniowy macierzy bazowej A .

Rozwiązanie problemu struny pozwoliło na pokazanie ciekawego zastosowania wartości i wektorów własnych. Wraz ze wzrostem parametru α , gęstość zniekształcała mody struny (fale stojące), szczególnie w okolicach centralnych, czyli „wierzchołka paraboli” funkcji gęstości.